

УДК 669.136.9:621.785.5

Д-р техн. наук Б. П. Середа¹, С. Н. Ткаченко²¹*Запорожская государственная инженерная академия,*²*АО «Запорожский сталепрокатный завод»;**г. Запорожье*

МАТЕМАТИЧЕСКОЕ ПЛАНИРОВАНИЕ ПОВЕРХНОСТНОГО УПРОЧНЕНИЯ ЧУГУНА И СТАЛИ КРЕМНИЕМ В УСЛОВИЯХ САМОРАСПРОСТРАНЯЮЩЕГОСЯ ВЫСОКОТЕМПЕРАТУРНОГО СИНТЕЗА

В данной работе показаны результаты математического планирования свойств поверхностных слоев на деталях из разных марок, нанесенных в условиях самораспространяющегося высокотемпературного синтеза, приведены фотографии поверхности упрочненных деталей.

Ключевые слова: самораспространяющийся высокотемпературный синтез, диффузия, поверхностное упрочнение, микроструктура, поверхность слой, микротвердость.

Введение

В работе для нанесения покрытий использовали следующие марки чугунов: АСЧ-1, СЧ-20, СЧ-25, ВЧ 45-5, ВЧ 38-17, ВЧ 42-12. Химико-термическую обработку осуществляли в реакторе открытого типа ($P = 10^5$ Па) при рабочем интервале температур 950–1050 °C и общей продолжительности изотермической выдержки 2–6 ч (как для одновременного, так и для последовательного способа насыщения). В качестве насыщающей среды [1] использовали смесь порошков [2]: Si, Al, Cr₂O₃, Al₂O₃, NH₄Cl, дисперсностью 100–350 мкм следующих материалов: Cr₂O₃ – оксид хрома – окислитель; Al₂O₃ – оксид алюминия – инертная добавка; Al – алюминий – восстановитель; Si – кремний марки Кр1 – источник кремния в покрытии; NH₄Cl – хлористый аммоний – активатор процесса насыщения.

С целью поиска составов порошковых СВС-смесей [3] обеспечивающих заданные свойства использовался дробный факторный эксперимент [4]. Требуется выбрать оптимальный состав шихты и режим СВС-процесса с целью обеспечения микротвердости наносимого слоя 400 кг/мм². Параметр оптимизации (Y) – микротвердость нанесенного слоя. Сокращение эксперименталь-

ных затрат достигается применением дробных реплик от полного факторного эксперимента, применением дробного факторного эксперимента ДФЭ. С целью изучения влияния химического состава и условий проведения термической обработки на величину зерна использовался дробный факторный эксперимент [5].

Кодирование факторов

Кодирование факторов необходимо для перевода натуральных факторов (°C и τ) в безразмерные величины, чтобы иметь возможность построить стандартный ортогональный план матрицы эксперимента. Для перевода натуральных переменных в кодовые X_i заполняют таблицу 1 кодирования на двух уровнях. В качестве нулевого уровня факторов выбирают центр интервала, в котором будут проводить эксперименты.

$$X_i = \frac{X_i - X_{i0}}{\delta_i}, \quad (1)$$

где X_i – натуральное значение фактора; X_{i0} – нулевое (среднее) значение фактора; δ_i – интервал варьирования.

Таблица 1 – Кодирование факторов

| Интервал варьирования и уровни факторов | Содержание Si в шихте, % | Содержание ХС в шихте, % | Температура процесса, °C | Время выдержки, ч |
|---|--------------------------|--------------------------|--------------------------|-------------------|
| код | X_1 | X_2 | X_3 | X_4 |
| Основной уровень $X_i = 0$ | 30 | 20 | 1000 | 4 |
| Интервал варьирования δ_i | 10 | 10 | 100 | 2 |
| Низкий уровень $X_i = -1$ | 20 | 10 | 900 | 2 |
| Верхний уровень $X_i = 1$ | 40 | 30 | 1100 | 6 |

Составление плана матрицы

Так как количество исследуемых факторов составляет 4, то выбираем дробную реплику 2^{4-1} следующего вида. Для построения плана дробного факторного эксперимента записываем дробную реплику в развернутом виде, где исключается фактор X_4 , который варьируется с соответствием с генерирующим соотношением $X_4 = X_1X_2X_3$ (табл. 2).

Таблица 2 – Матрица планирования ДФЭ 2^{4-1}

| Номер опыта | Значение факторов в кодированном виде | | | | |
|-------------|---------------------------------------|-------|-------|-------|------------------|
| | X_0 | X_1 | X_2 | X_3 | $X_4(X_1X_2X_3)$ |
| 1 | + | + | + | + | + |
| 2 | + | + | + | - | - |
| 3 | + | + | - | + | - |
| 4 | + | + | - | - | + |
| 5 | + | - | + | + | - |
| 6 | + | - | + | - | + |
| 7 | + | - | - | + | + |
| 8 | + | - | - | - | - |

Реализация плана эксперимента

Для определения дисперсии опыта были организованные опыты 9–11 на основном уровне табл. 3. При этом получили значения параметра оптимизации.

Таблица 3 – Расчетная таблица дисперсии опыта

| Опыт | y_e | $ y_{0e} - y_0 $ | Δy_e^2 |
|------|-------------|-------------------------|----------------|
| 9 | 385 | 2 | 36 |
| 10 | 380 | 3 | |
| 11 | 384 | 1 | |
| | $y_0 = 383$ | $\sum \Delta y_e^2 = 6$ | |

Таблица 4 – Результаты опытов

| опыт | 1 | 2 | 3 | 4 | 5 | 6 | 7 | 8 |
|-----------|-----|-----|-----|-----|-----|-----|-----|-----|
| результат | 395 | 375 | 370 | 380 | 395 | 390 | 395 | 370 |

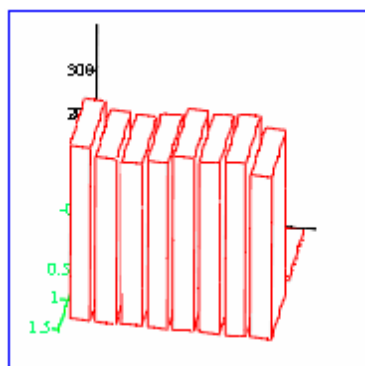


Рис. 1. Гистограмма результатов опытов

Для определения ошибки эксперимента опыты следует дублировать. Чаще дублируют не все опыты, а только опыты на основном уровне. В этом случае, расчет дисперсии опыта S_y прово-

$$дится по формуле: S_y^2 = \sum_{i=1}^n \frac{(Y_{oi} - Y_o)^2}{f_1},$$

где n – количество дублей на основном уровне; i – номер дубля; Y_{oi} – значение параметра оптимизации в i -м дубле; Y_o – среднее арифметическое результатов всех дублей; f_1 – число степеней свободы ($f_1 = n - 1$). Тогда:

$$S_y^2 = \sum_{i=1}^n \frac{(Y_{oi} - Y_o)^2}{f_1} = \frac{36}{4-1} = 12.$$

Построение математической модели

После реализации всех опытов матрицы планирования по их результатам строят математическую модель изучаемого процесса. Для этого при использовании ДФЭ, рассчитываем коэффициенты регрессии уравнения по фор-

муле: $b_j = \sum_{j=1}^n \frac{X_{jn} \cdot Y_n}{N}$, b_j – значение j -го коэффициента регрессии ($j = 0, 1, 2, \dots, k$); X_{jn} – значение j -го фактора в n -м опыте в кодированном виде; Y_n – значение параметра оптимизации в n -м опыте;

N – число опытов в матрице планирования. В результате получаем модель, которая имеет следующий вид: $Y = b_0 + b_1 X_1 + b_2 X_2 + b_3 X_3 + \dots + b_j X_j$

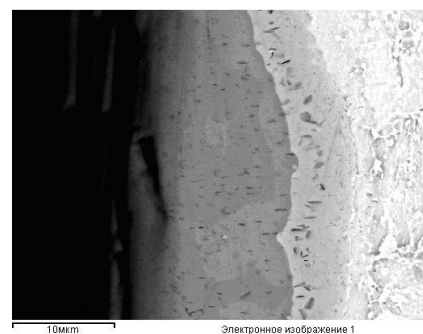


Рис. 2. Электронное изображение поверхности борированной стали марки Ст45

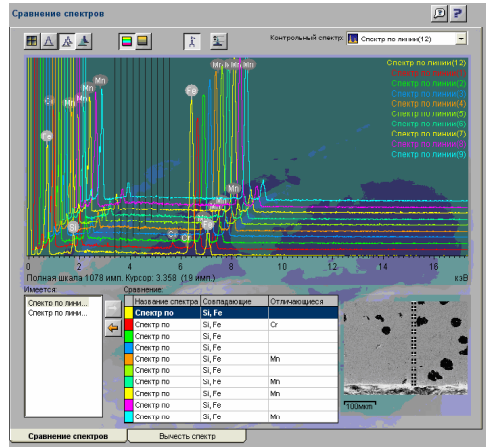


Рис. 3. Распределение элементов в весовых процентах на силицированной детали из чугуна марки ВЧ 45-5

По формуле рассчитываем коэффициенты регрессии искомой модели:

$$b_0 = 1/8 \cdot [395 + 375 + 370 + 380 + 395 + 390 + 395 + 370] = 383,75; \\ b_1 = -3,75; b_2 = 5; b_3 = 5; b_{123} = 6,25.$$

Линейная модель имеет вид:

$$y = 383,75 - 3,75 \cdot X_1 + 5 \cdot X_2 + 5 \cdot X_3 + 6,25 \cdot X_1 \cdot X_2 \cdot X_3.$$

Статический анализ модели. Целью анализа является проверка пригодности модели для ее использования при описании исследуемого объекта. Анализ состоит из двух этапов. На первом этапе проверяем статистическую значимость коэффициентов регрессии. В статистике принято осуществлять проверку значимости коэффициентов регрессии с помощью критерия Стьюдента (t -критерия). Для этого, рассчитываем доверительный интервал коэффициентов

$$\Delta b_i = t_{\text{afl}} \cdot S_{bi}, \text{ где } S_{bi} \text{ — среднеквадратическая ошибка в определении коэффициентов регрес-}$$

ции $S_{bi} = \sqrt{\frac{S_y^2}{N}}$, t_{afl} — значение t -критерия, кото-

рое выбираем в зависимости от уровня значимости « α » и числа степеней свободы при определении дисперсности опыта f_1 . Значения коэффициентов регрессии сравниваем с Δb_i и те, которые оказываются по абсолютной величине меньше доверительного интервала, исключают из уравнения. На втором этапе, окончательно полученное уравнение проверяем на адекватность, то есть его пригодность для описания объекта исследования. Рассчитываем доверительный интервал коэффициентов регрессии Δb_i . Для этого в нач-

але определим S_{bi} . $S_{bi} = \sqrt{\frac{12}{8}} = \pm 1,22$. Выбираем для $\alpha = 0,05$ и f_1 . Значение критерия Стьюдента равно 3,18. Определяем $\Delta b_i = \pm 3,18 \cdot 1,22 = \pm 3,88$.

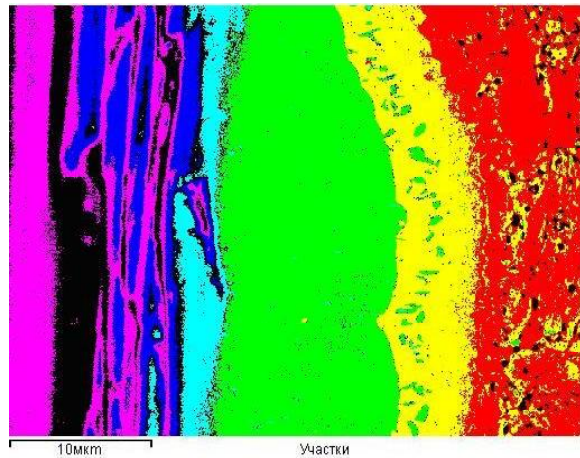


Рис. 4. Электронное изображение поверхности по участкам борированной детали марки Ст45

Таким образом, в полученном уравнении коэффициент b_1 статистически незначим, так как для него условие $|b_1| > \Delta b$ не выполняется, и уравнение приобретает окончательно следующий вид: $y = 383,75 + 5 \cdot X_2 + 5 \cdot X_3 + 6,25 \cdot X_1 \cdot X_2 \cdot X_3$. Теперь проверяем адекватность полученной модели в целом. Для этого, подставляем в полученное уравнение последовательно для всех опытов значение X_i в кодированном виде, которые берем из таблицы 2. Таблица 5 составлена, исходя из алгоритма проверки полученного уравнения на адекватность, т. е. его пригодности для написания объекта исследования. Последовательность проверки такова:

1. По полученной модели определяют поочередно для всех опытов матрицы планирования расчетные значения параметра оптимизации ($y_{\text{расч}}$). Для этого в уравнение подставляют значение факторов в кодированном виде. $y_{\text{расч1}} = 383,75 + 5(+1) + 5(+1) + 6,25(+1) = 400$ и т. д.

2. По формуле получают оценку дисперсии

$$\text{адекватности: } S_{ad}^2 = \frac{\sum_{n=1}^{N} (y_n^{\text{расч}} - y_n^{\text{расч}})^2}{f_2}, \text{ где}$$

$f_2 = N - K'$, K' — число коэффициентов модели, включая b_0 .

3. Определяют расчетное значение F -критерия (Фишера), сравнивают с табличным, которое выбирают из таблицы в зависимости от уровня значимости α и числа степеней свободы f_1 и f_2 . В случае, если расчетное значение окажется меньше табличного, или будет равно ему, то модель признают адекватной. Если модель оказывается адекватной, то это значит, что ее можно использовать для описания объекта исследования в изученных пределах изменения факторов

$$F_{f_1, f_2}^{\text{расч}} = \frac{S_{ad}^2}{S_y^2} \leq F_t(0.05; f_{ad}, f_y).$$

Таблиця 5 – Расчет дисперсии адекватности

| Опыт | Значение у | | Δy | Δy ² |
|------|-------------------|-----------|----|-----------------|
| | Экспериментальное | Расчетное | | |
| 1 | 395 | 400 | 5 | 25 |
| 2 | 375 | 378 | 3 | 9 |
| 3 | 370 | 378 | 8 | 64 |
| 4 | 380 | 380 | 0 | 0 |
| 5 | 395 | 388 | 7 | 49 |
| 6 | 390 | 390 | 0 | 0 |
| 7 | 395 | 390 | 5 | 25 |
| 8 | 370 | 368 | 2 | 4 |

$\sum = 176 S_{ad}^2 = \frac{176}{8-4} = 44 ; F_{f1,f2}^{расч} = \frac{44}{12} = 3,67$. Из таблицы для $\alpha = 0,05$, $f_1 = 3$ и $f_2 = 4$ находим табличное значение критерия Фишера, равное 6,59. Таким образом, условие адекватности модели $F_{\text{табл}} < F_{\text{расч}}$ выполняется и ею можно пользоваться для расчета значений микротвердости силицированных покрытий чугунов. Для этого, надо в уравнение подставить значение факторов в кодированном масштабе. При этом следует помнить, что полученная модель описывает процесс силицирования чугунов только в изученных пределах варьирования факторов.

Список литературы

1. Многокомпонентные диффузионные покрытия под ред. Ляховича Л. С. — Минск : Наука и техника, 1974. — 272 с.
2. Мержанов А. Г. Процессы горения и синтеза материалов / А. Г. Мержанов. — Черноголовка: ИСМАН, 1998. — 512 с.
3. Середа Б. П. Поверхневе зміцнення матеріалів: Монографія / Б. П. Середа, Н. Є. Калініна, І. В. Кругляк. — Запоріжжя: Видавництво ЗДІА, 2004. — 230 с.
4. Середа Б. П. Теория строения жидкого, кристаллического и аморфного состояния вещества / Б. П. Середа. — Запорожье, 2003. — 179 с.

Поступила в редакцию 30.03.2010

Середа Б.П., Ткаченко С.М. Математичне планування поверхневого зміцнення чавуну і сталі кремнієм в умовах високотемпературного синтезу

У даній роботі показані результати математичного планування властивостей поверхневих шарів на деталях з різних марок, нанесених в умовах високотемпературного синтезу, що саморозповсюджується, приведені фотографії поверхні зміцнених деталей.

Ключові слова: саморозповсюджуваний високотемпературний синтез, дифузія, поверхневе зміцнення, мікроструктура, поверхневий шар, мікротвердість.

Sereda B., Tkachenko S. Mathematical planning of surface hardening of iron and steel with silicon in a self-propagating high temperature synthesis

In this work the results of the mathematical planning of properties of superficial layers are obtained on details from different brands, inflicted in the conditions of self-propagating high temperature synthesis, the pictures of surface of the work-hardened details are resulted.

Key words: self-propagating high-temperature synthesis, diffusion, superficial work-hardening, microstructure, superficial layer, microhardness.